

Wetterkarte

des Deutschen Wetterdienstes in der US-Zone, Bad Kissingen

Bei unregelmäßiger Lieferung sind Beschwerden immer an das Zustellpostamt zu richten

Verlagsort: Bad Kissingen
Erscheint täglich, Postbezug monatlich 3.- DM
Einzelpreis 10 Pfg

Postscheckkonto: 60257 Nürnberg
Nachdruck u. öffentlicher Aushang zu Reklame-
zwecken ohne Genehmigung nicht gestattet

Jahrgang 1952

Montag, den 26. Mai

Nummer 147

Zu welchem Zeitpunkt ist Hagelschlag am gefährlichsten?

Eine der gefährlichsten Begleiterscheinungen sommerlicher Gewitter ist der Hagelschlag, der oftmals mit katastrophalen Folgen für den Pflanzenbestand verbunden ist. Nicht selten werden strichweise^{alte} Pflanzen auf den Feldern zerschlagen und vernichtet, so daß die betroffenen Landwirte wirtschaftlich stark geschädigt werden. Aber auch die Teilschäden an den Pflanzen haben oft erhebliche Ernteeinbußen zur Folge, was natürlich davon abhängt, wann die Hagelschäden auftraten. In diesem Zusammenhang sind Untersuchungen interessant, über die H. Z o g g in der Phytopathologischen Zeitschrift berichtete. Bei diesen Versuchen wurden die durch Hagelschlag verursachten Halmknickungen zu verschiedenen Zeiten der Vegetationsentwicklung experimentell nachgeahmt und dann der prozentuale Verlust am Kornertag festgestellt. Es ergaben sich

	bei Winterweizen	bei Sommerweizen
bei Knickung kurz vor dem Ährenschieben	40-55%	40-50%
kurz vor der Blüte	40-50%	25-35%
kurz nach der Blüte	35-45%	25-35%
bei Milchreife	25-35%	15-25%
bei Gelbreife	15-25%	0-10%

Je weiter also die Pflanze in ihrer Entwicklung zur Zeit des Hagelschlags gediehen ist, desto schwächer werden die Verluste beim Kornertag sein. Die gleiche Erscheinung ließ sich für die Strohverluste nachweisen; aber hierbei waren die Unterschiede nicht so deutlich wie beim Kornertag. Wenn kurz vor dem Ährenschieben der obere Teil der obersten Blattscheide geknickt wird, so hat dies die im Felde häufig zu beobachtende Ährenkrümmung zur Folge und einen geringen Verlust am Kornertag - im allgemeinen weniger als 20%. Im übrigen aber spielt der Ort der Knickung am Halm für die Höhe der Verluste keine große Rolle.

Ähnliche Versuche wurden mit Zuckerrüben angestellt, deren Blätter künstlich in der gleichen Weise zerfetzt wurden, wie dies der Hagel tut. Und zwar wurden einmal nur die äußeren Hälften, zum anderen aber die ganzen Blattflächen sämtlicher Blätter abgeschnitten. Folgende Gesamtverluste an Zucker in Schadensgradprozenten wurden beobachtet:

Schadenstermin:	halb zerfetzt	ganz zerfetzt
2. Hälfte Juni	10-20%	40-50%
1. Hälfte Juli	5-15%	35-45%
2. Hälfte Juli	0-10%	30-40%
1. Hälfte August	0-10%	25-35%
2. Hälfte August	0-10%	20-30%
1. Hälfte September	0-10%	15-25%
2. Hälfte September	0-10%	10-20%

Bei halbzerfetzten Blättern bleibt also der Schaden gering, wenn der Hagelschlag erst im August/September auftritt.

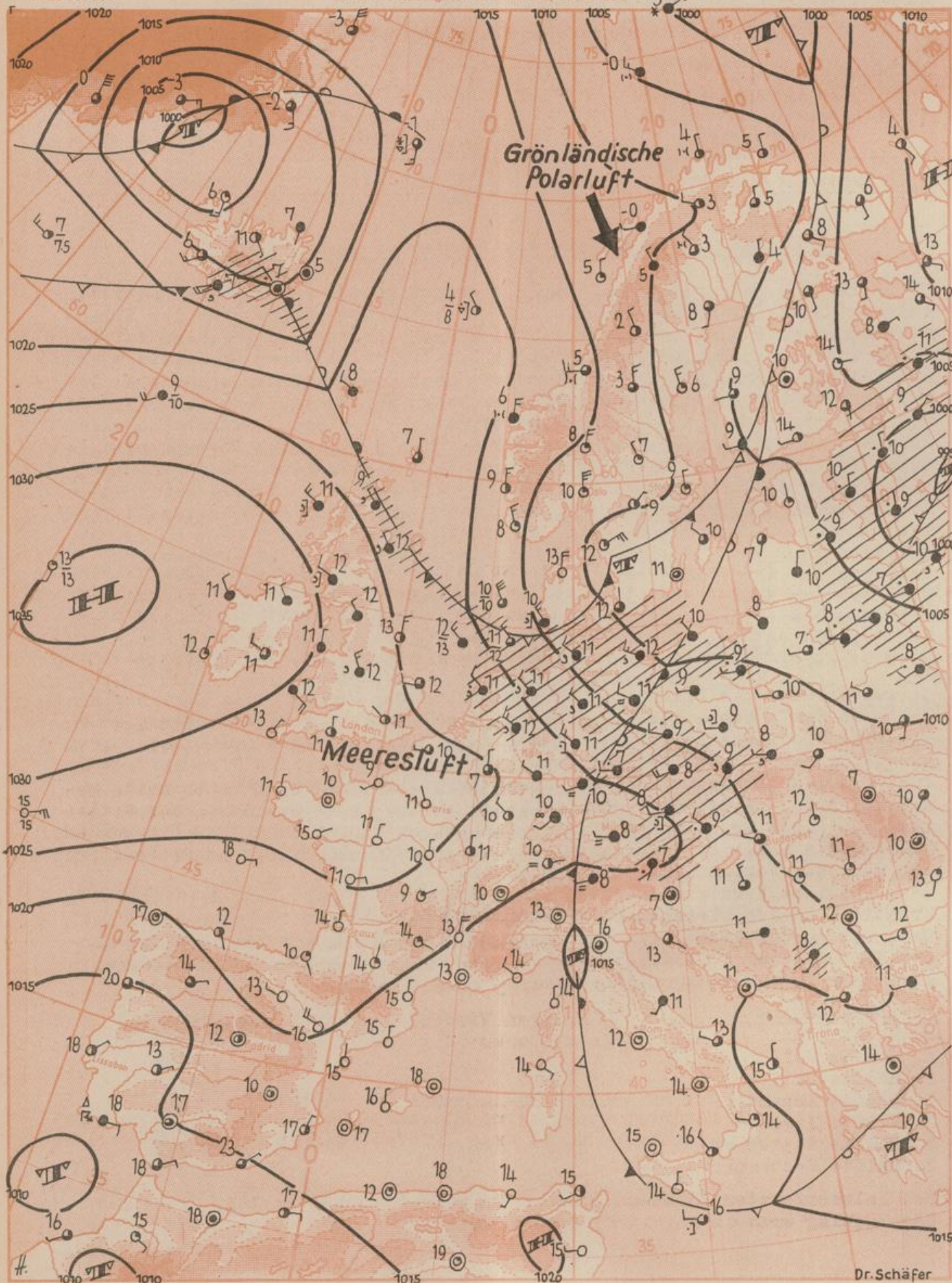
Dr. Uhlig

Wetterkarte des Deutschen Wetterdienstes in der US-Zone

Luftdruckverteilung, Wind, Wetter und Temperatur am 26. Mai 1952 7 Uhr

1:20000000

Sämtliche Zeitangaben in Mitteleuropäischer Zeit



- Erläuterung**
- 1/4 bedec
 - 1/2 bedec
 - 3/4 bedec
 - bedeckt
 - ∞ Dunst
 - ≡ starker D
 - ≡ Bodenneb
 - ≡ Nebel
 - ≡ Staub- o
 - ≡ Sandstür
 - ≡ Schneest
 - ≡ Nieseln
 - ≡ Regen
 - ≡ Niesel
 - ≡ Regen mit
 - ≡ Eisregen
 - ≡ (Polar) Sch
 - ≡ Schauer
 - ≡ Graupel
 - ≡ Hagel
 - ≡ Gewitter
 - ≡ Ferngewit
 - ≡ Wetterst
 - ≡ Fallstrei
 - ≡ nach Reg
 - ≡ Gewitter

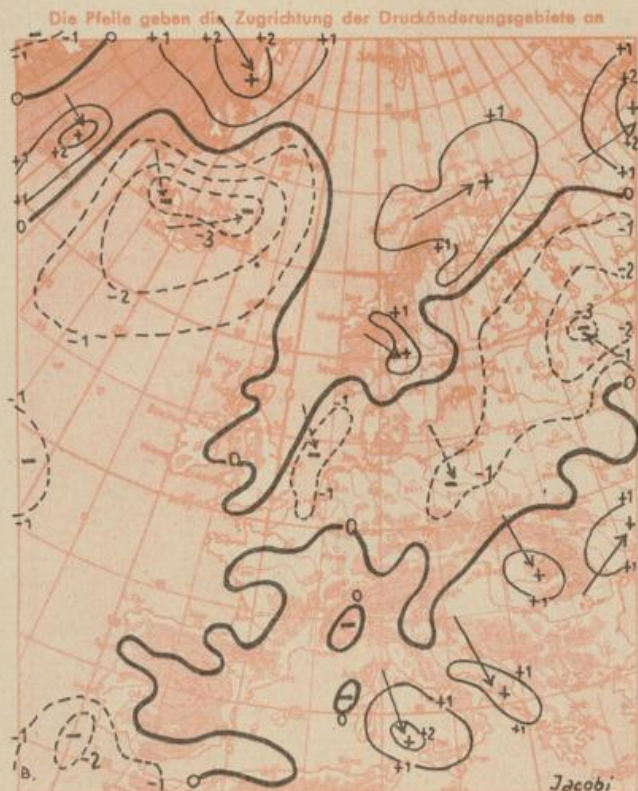
- Windgeschw.**
in Knoten
- 0
 - 1-2
 - 3-7
 - 8-12
 - 13-17
 - 18-22
 - 23-27
 - 28-32
 - 33-37
 - 38-42
 - 43-47
 - 48-52
 - 53-57
 - 58-62
 - 63-67
 - 68-72
 - 73-77
 - 78-82
 - 83-87
 - 88-92
 - 93-97
 - 98-102
 - 103-107
 - 108-112
 - 113-117
 - 118-122
 - 123-127
 - 128-132
 - 133-137
 - 138-142
 - 143-147
 - 148-152
 - 153-157
 - 158-162
 - 163-167
 - 168-172
 - 173-177
 - 178-182
 - 183-187
 - 188-192
 - 193-197
 - 198-202
 - 203-207
 - 208-212
 - 213-217
 - 218-222
 - 223-227
 - 228-232
 - 233-237
 - 238-242
 - 243-247
 - 248-252
 - 253-257
 - 258-262
 - 263-267
 - 268-272
 - 273-277
 - 278-282
 - 283-287
 - 288-292
 - 293-297
 - 298-302
 - 303-307
 - 308-312
 - 313-317
 - 318-322
 - 323-327
 - 328-332
 - 333-337
 - 338-342
 - 343-347
 - 348-352
 - 353-357
 - 358-362
 - 363-367
 - 368-372
 - 373-377
 - 378-382
 - 383-387
 - 388-392
 - 393-397
 - 398-402
 - 403-407
 - 408-412
 - 413-417
 - 418-422
 - 423-427
 - 428-432
 - 433-437
 - 438-442
 - 443-447
 - 448-452
 - 453-457
 - 458-462
 - 463-467
 - 468-472
 - 473-477
 - 478-482
 - 483-487
 - 488-492
 - 493-497
 - 498-502
 - 503-507
 - 508-512
 - 513-517
 - 518-522
 - 523-527
 - 528-532
 - 533-537
 - 538-542
 - 543-547
 - 548-552
 - 553-557
 - 558-562
 - 563-567
 - 568-572
 - 573-577
 - 578-582
 - 583-587
 - 588-592
 - 593-597
 - 598-602
 - 603-607
 - 608-612
 - 613-617
 - 618-622
 - 623-627
 - 628-632
 - 633-637
 - 638-642
 - 643-647
 - 648-652
 - 653-657
 - 658-662
 - 663-667
 - 668-672
 - 673-677
 - 678-682
 - 683-687
 - 688-692
 - 693-697
 - 698-702
 - 703-707
 - 708-712
 - 713-717
 - 718-722
 - 723-727
 - 728-732
 - 733-737
 - 738-742
 - 743-747
 - 748-752
 - 753-757
 - 758-762
 - 763-767
 - 768-772
 - 773-777
 - 778-782
 - 783-787
 - 788-792
 - 793-797
 - 798-802
 - 803-807
 - 808-812
 - 813-817
 - 818-822
 - 823-827
 - 828-832
 - 833-837
 - 838-842
 - 843-847
 - 848-852
 - 853-857
 - 858-862
 - 863-867
 - 868-872
 - 873-877
 - 878-882
 - 883-887
 - 888-892
 - 893-897
 - 898-902
 - 903-907
 - 908-912
 - 913-917
 - 918-922
 - 923-927
 - 928-932
 - 933-937
 - 938-942
 - 943-947
 - 948-952
 - 953-957
 - 958-962
 - 963-967
 - 968-972
 - 973-977
 - 978-982
 - 983-987
 - 988-992
 - 993-997
 - 998-1002



Dr. Schäfer

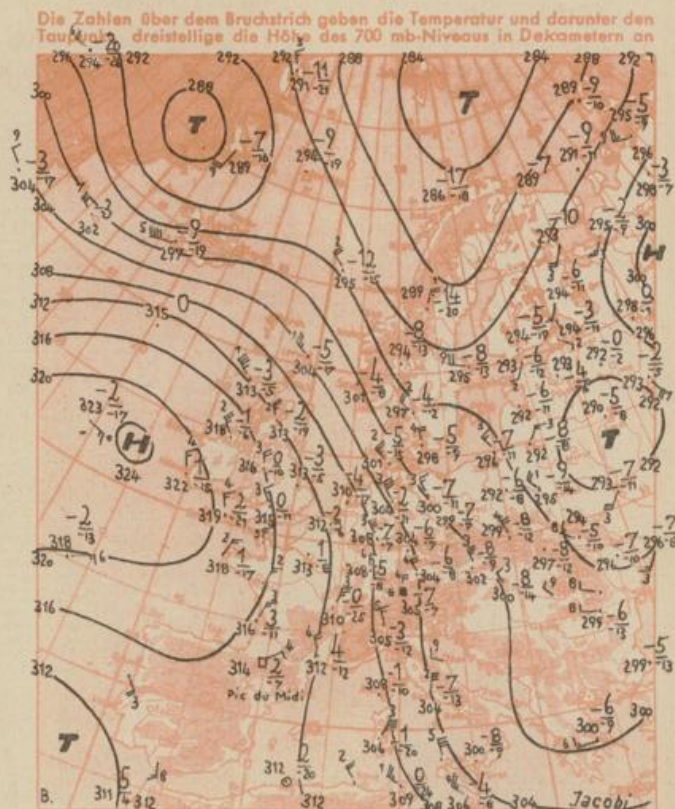
- a) Kaltfront b) Warmfront c) Okklusion d) Entgegengesetzte Luftmassenbewegung am Boden und in der Höhe e) Sonstiges
- ▲▲▲▲ in allen Schichten
 - ▲▲▲▲ nur am Boden
 - ▲▲▲▲ nur in der Höhe
 - ▲▲▲▲ nur in der Höhe
 - ▲▲▲▲ nur in der Höhe
 - ▲▲▲▲ ohne Temperaturänderung am Boden
 - ▲▲▲▲ mit Abkühlung am Boden
 - ▲▲▲▲ mit Erwärmung am Boden
 - ▲▲▲▲ Quasistationäre Front oder gegenläufige Warmfront
 - Konvergenzlinie

Dreistündige Druckänderung von 4 bis 7 Uhr



1:50000000

Höhenwetterkarte für 3000 m (700 mb) von 4 Uhr



1:50000000

Kleine Zahl an der Windrichtung gibt die Zehnerzahl der Richtung.

Übersicht: Die Störungstätigkeit an der Ostflanke des ausgedehnten ostatlantischen Hochdruckgebietes hält weiter an. Der Tiefdruckkern, der gestern vor der norwegischen Küste lag, hat inzwischen die Ostsee erreicht. Die zugehörige Warmfront ist über Mitteleuropa weiter nach Osten vorangekommen. Infolgedessen kam es in ganz Deutschland bei vorherrschend starker Bewölkung verbreitet zu weiteren, meist leichten Niederschlägen. Die Temperaturverhältnisse änderten sich nur wenig.

Die nachfolgende grönländische Polarluft ist bis zur Nordsee vorgekommen und stößt weiter nach Süden vor. Eine weitere Störung, die heute über Island liegt, folgt verhältnismäßig rasch nach.

Die großräumige Luftdruckverteilung erfährt damit aber keine wesentliche Umgestaltung, so daß das ostatlantische Hoch weiterhin das Wettergeschehen in Mitteleuropa bestimmt. Die unbeständige und kühle Witterung hält daher vorerst noch an, wobei es besonders in Süddeutschland noch zu weiteren Niederschlägen kommen wird.

Dr. Lingelbach

Vorhersage für Dienstag, ausgegeben am Montag 11 Uhr:

Berlin und Mitteldeutschland: Bei schwachen bis mäßigen Winden um Nordwest wechselnd bewölkt, im wesentlichen trocken. Tageshöchsttemperaturen um 15 Grad, Tiefsttemperaturen nachts um 5 Grad.

Alpengebiet: Bei schwachen bis mäßigen Winden aus West bis Nord stark bewölkt, zeitweise Regen, Tageshöchsttemperaturen meist unter 15 Grad, Tiefsttemperaturen 5 bis 8 Grad.

Übriges Süddeutschland, Nordhessen und Bremen: Bei schwachen bis mäßigen Winden aus West bis Nordwest überwiegend stärker bewölkt, zeitweise geringer Regen. Tageshöchsttemperaturen um 15 Grad, Tiefsttemperaturen nachts zwischen 5 und 10 Grad.

Weitere Aussichten bis Donnerstag: Immer noch unbeständig und für die Jahreszeit etwas zu kühl.

Dr. Schäfer

Sonderberatungen für alle Zweige des Wirtschaftslebens durch:

Zentralamt des Deutschen Wetterdienstes in der US-Zone,
Bad Kissingen, Ringstraße 5, Telefon 2545, 2547

Wetterdienst München, Maria-Theresia-Straße 28, Tel. 480360

Amt für Wetterdienst Lamen-Flughafen, Tel. 52948, 53087

Amt für Wetterdienst Frankfurt a. M., Feldbergstraße 47, Tel. 75564

Amt für Wetterdienst Karlsruhe, Erzbergerstraße 85, Tel. 2690, 2691

Amt für Wetterdienst Kassel-Harleshausen, Am Versuchsfeld 13, Tel. 5040

Amt für Wetterdienst Nürnberg-Fürth, Fürth, Würzburgerstraße 205,

Tel. Nürnberg 70465, 72058

Amt für Wetterdienst Stuttgart 5, Albenstraße 112, Tel. 39007, 39008

Beobachtungen

Ort <input type="checkbox"/> Bergstationen	See- höhe m	13 Uhr				gestern				19 Uhr				heute 7 Uhr				Schnee- höhe in cm	höchste Temperatur gestern	Niedrigste Temperatur d. letzten Nacht	24stünd. Nieder- schlag in mm	Gesamte Sonnen- schein- dauer in Std.
		Luftdr. in mb	Temp. C°	Wind	Wetter	Luftdr. in mb	Temp. C°	Wind	Wetter	Luftdr. in mb	Temp. C°	Wind	Wetter	Luftdr. in mb	Temp. C°	Wind	Wetter					
Berlin / Dahlem	54	1020.4	15	NW 10	☉	1018.4	12	WNW 09	☉	1013.3	11	NNW 10	☉	1019.5	11	NNW 10	☉	16	9	1	2.0	
Bremen	3	1024.2	12	NW 12	☉	1022.1	13	WNW 10	☉	1018.1	11	WNW 10	☉	1019.5	10	W 08	☉	14	10	2	2.7	
Kassel	187	1025.2	11	NW 06	☉	1023.1	12	NNW 08	☉	1019.1	11	NW 10	☉	1019.5	10	W 08	☉	13	10	1	0.3	
Bad Wildungen	280	1024.7	9	NW 04	☉	1023.0	11	NW 04	☉	1019.5	10	W 08	☉	1019.5	10	W 08	☉	12	9	1	0.1	
Limburg	130	1025.7	11	NNW 05	☉	1024.4	13	NW 05	☉	1022.4	9	NNW 05	☉	1022.4	9	NNW 05	☉	14	9	gering	0.1	
Frankfurt-Stadt	103	1025.5	13	N 04	☉	1023.7	13	W 02	☉	1021.3	11	W 07	☉	1022.4	9	NNW 05	☉	13	11	gering	0.0	
Aschaffenburg	185	1024.8	11	NNW 08	☉	1023.0	12	NNW 06	☉	1020.6	10	WNW 13	☉	1020.6	10	WNW 13	☉	13	10	gering	0.1	
Bad Kissingen	223	1024.0	14	WNW 06	☉	1023.3	11	WNW 04	☉	1020.6	10	WSW 04	☉	1020.6	10	WSW 04	☉	15	9	gering	2.0	
Coburg	388	1021.0	13	NW 06	☉	1020.7	11	WNW 06	☉	1019.5	9	NW 05	☉	1019.5	9	NW 05	☉	14	8	0.2	*	
Hof	567	1022.8	10	NNW 12	☉	1022.4	8	WNW 08	☉	1018.9	7	W 08	☉	1018.9	7	W 08	☉	11	6	3	0.4	
Bayreuth	341	1022.9	12	WSW 05	☉	1022.6	9	NW 02	☉	1020.4	8	WSW 02	☉	1020.4	8	WSW 02	☉	14	7	1	2.1	
Würzburg	259	1024.3	13	NNW 13	☉	1023.1	11	NW 13	☉	1020.8	9	WNW 13	☉	1020.8	9	WNW 13	☉	14	8	gering	3.2	
Nürnberg-Fürth	312	1023.0	14	N 12	☉	1023.1	10	NNW 10	☉	1020.8	8	WNW 13	☉	1020.8	8	WNW 13	☉	15	8	0.5	2.5	
Karlsruhe	115	1025.4	15	NNW 08	☉	1024.5	13	N 08	☉	1023.7	10	WSW 03	☉	1023.7	10	WSW 03	☉	16	8	0.1	1.6	
Stuttgart/Stadt	305	1024.5	13	WNW 04	☉	1024.2	11	NNW 10	☉	1023.1	10	SW 06	☉	1023.1	10	SW 06	☉	13	9	0.1	0.2	
Ingolstadt	367	1022.8	13	NW 06	☉	1021.5	13	NW 04	☉	1021.4	9	W 09	☉	1021.4	9	W 09	☉	15	8	gering	2.9	
Landshut	459	1022.2	11	WNW 09	☉	1021.4	12	WNW 07	☉	1020.9	9	WSW 09	☉	1020.9	9	WSW 09	☉	13	8	0.5	0.9	
Augsburg	480	1023.7	12	WNW 06	☉	1022.6	12	WNW 06	☉	1022.7	8	WSW 06	☉	1022.7	8	WSW 06	☉	12	7	1	1.0	
München-Stadt	522	1023.3	12	W 07	☉	1022.4	12	WNW 06	☉	1022.9	8	W 03	☉	1022.9	8	W 03	☉	14	7	3	2.8	
Oberstdorf	811	1024.2	11	still	☉	1024.3	8	S 05	☉	1024.9	6	S 03	☉	1024.9	6	S 03	☉	11	5	10	1.7	
Bad Tölz	654	1023.2	10	WNW 06	☉	1022.4	10	SSW 02	☉	1023.3	7	WNW 05	☉	1023.3	7	WNW 05	☉	13	7	6	2.9	
Berchtesgaden	542	1023.7	8	SSW 07	☉	1022.8	8	SSW 05	☉	1022.2	7	SW 02	☉	1022.2	7	SW 02	☉	10	6	30	0.0	
<input type="checkbox"/> Wasserkuppe	950	915.9	6	NW 08	☉	914.5	4	WNW 09	☉	911.7	5	WNW 10	☉	911.7	5	WNW 10	☉	7	4	4	0.0	
<input type="checkbox"/> Feldberg i. Tauern	807	930.3	6	WNW 10	☉	928.8	7	WNW 12	☉	926.1	5	WNW 20	☉	926.1	5	WNW 20	☉	7	5	0.3	0.0	
<input type="checkbox"/> Wendelstein	1735	828.7	-0	NNW 10	☉	828.7	0	NW 10	☉	827.3	-1	NNW 16	☉	827.3	-1	NNW 16	☉	9	1	-1	26	0.0
<input type="checkbox"/> Zugspitze	2962	709.8	-6	N 15	☉	710.1	-7	N 14	☉	708.4	-7	N 17	☉	708.4	-7	N 17	☉	380	-5	-7	17	0.0
Stockholm	10	1013.4	13	NW 14	☉	1009.2	14	SW 09	☉	1008.9	9	N 10	☉	1008.9	9	N 10	☉					
Oslo	25	1013.5	15	SSW 06	☉	1009.4	14	SW 03	☉	1012.8	10	N 25	☉	1012.8	10	N 25	☉					
Kopenhagen	1	1018.0	12	W 07	☉	1013.3	14	SW 02	☉	1008.8	12	N 01	☉	1008.8	12	N 01	☉					
Moskau	161	1008.0	20	O 08	☉	1006.0	14	ONO 04	☉													
London	66	1029.0	21	SSW 04	☉	1026.4	21	NW 09	☉	1026.2	11	NW 01	☉	1026.2	11	NW 01	☉					
Paris	46	1027.7	18	N 12	☉	1025.9	19	NNO 12	☉	1025.7	11	NW 01	☉	1025.7	11	NW 01	☉					
Wien	157	1017.5	11	NW 09	☉	1017.6	12	NW 14	☉	1017.5	9	NW 10	☉	1017.5	9	NW 10	☉					
Rom	3	1015.0	19	NO 04	☉	1014.1	17	NNO 03	☉	1016.9	12	SHII	☉	1016.9	12	SHII	☉					
Madrid	667	1027.6	22	ONO 04	☉	1019.0	25	SHII	☉	1018.2	12	SHII	☉	1018.2	12	SHII	☉					

Sonne	Aufgang Ubergang morgen	
	Zeit	Zeit
Mittleuropäische Zeit		
Bad Kissingen	4:20	20:15
München	4:22	20:00
Frankfurt	4:25	20:20
Bremen	4:11	20:34

Messungen in der freien Atmosphäre

